

## بررسی پلیمورفیسم ژن *Spa* در ایزوله‌های بالینی و ناقلین نازال استافیلوکوکوس اورئوس

### چکیده

دریافت: ۱۳۹۳/۱۱/۲۵ پذیرش: ۱۳۹۳/۰۹/۲۸ آنلاین: ۱۳۹۳/۱۲/۲۰

**زمینه و هدف:** پروتین A یک جزو اصلی در دیواره سلولی استافیلوکوکوس اورئوس است که آنالیز توالی نوکلئوتیدها در ناحیه ژن *spa* کدکننده پروتین A نشان داد این ناحیه از ۲۴ جفت باز تکراری تشکیل شده که دارای پلیمورفیسم بالینی است. در این مطالعه الگوهای ژن *spa* استافیلوکوکوس اورئوس جدا شده از بینی پرسنل و نمونه‌های بالینی مورد بررسی قرار گرفت.

**رووش بررسی:** در مجموع ۲۰۰ نمونه بالینی از بیماران بستری و سواب بینی از کارکنان بیمارستان‌های آموزشی دانشگاه علوم پزشکی همدان از مهر ۱۳۹۲ تا مرداد ۱۳۹۳ جمع‌آوری گردید. بعد از تایید سویه‌های جدا شده، بررسی حساسیت آنتی‌بیوتیکی به روش دیسک دیفیوژن با توجه به دستورکار Clinical and laboratory standards institute (CLSI) و شناسایی ژن *mecA* سویه‌های *Staphylococcus aureus* (MRSA) و *spa* (Methicillin-resistant *S. aureus*) با روش (A) با روش PCR انجام شد. محصولات PCR با روش Polymerase chain reaction-restriction fragment length polymorphism (PCR-RFLP) و آنزیم *Rsa I* (*Afa I*) برش خوردن.

**یافته‌ها:** سویه‌ها MRSA به ترتیب بیشترین حساسیت و مقاومت را به کلیندامایسین و سپروفلوكسازین داشتند. در مجموع هشت محصول PCR، با اندازه‌های مختلف برای ژن *spa* شناسایی شد که پس از برش آنژیمی ۹ الگو بدست آمد که برخی از این الگوها در ایزوله‌های جدا شده از بینی پرسنل و نمونه‌های بالینی مشترک بودند.

**نتیجه‌گیری:** الگوهای مشابه ژن *spa* در بیماران بستری و کارکنان بیانگر این مطلب است که یک منع عفونت مشترک در چرخش و انتقال از فرد به فرد در بیمارستان است. تجزیه و تحلیل این الگوها می‌تواند انتقال عفونت در میان کارکنان و بیماران بستری در بیمارستان‌ها را کاهش داد و همچنین در درمان‌های دارویی می‌تواند به پزشکان و بیماران کمک کند.

**کلمات کلیدی:** استافیلوکوکوس اورئوس، ژن *spa* تست آنتی‌بیوگرام دیسک دیفیوژن، واکنش زنجیره پلی‌مراز، مقاومت دارویی، مطالعات وابسته به ژنتیک، پلیمورفیسم.

حسن محمودی<sup>۱</sup>

محمد رضا عربستانی<sup>۱</sup>

سید فضل الله موسوی<sup>۲</sup>

صفیه غافل<sup>۳</sup>

محمد یوسف علیخانی<sup>\*۱</sup>

۱- مرکز تحقیقات بروسلوز، گروه میکروب‌شناسی، دانشکده پزشکی، دانشگاه علوم پزشکی همدان، همدان، ایران.

۲- گروه میکروب‌شناسی، انتستیتو پاستور ایران، تهران، ایران.

۳- گروه میکروب‌شناسی دانشکده پزشکی، دانشگاه علوم پزشکی همدان، همدان، ایران.

\*نویسنده مسئول: همدان، خیابان شهدی فهیمده، رویه‌روی پارک مردم، دانشگاه علوم پزشکی همدان، دانشکده پزشکی، گروه میکروب‌شناسی پزشکی

تلفن: ۰۶۱-۳۸۳۸۰۱۳۰  
E-mail: alikhani43@yahoo.com

### مقدمه

انسان می‌شود.<sup>۱</sup> این باکتری یکی از علل عمدۀ عفونت زخم‌های جراحی در بیماران بستری در بیمارستان و عفونت‌های مرتبط با

تجهیزات پزشکی می‌باشد.<sup>۲</sup>

استافیلوکوکوس اورئوس به طور غالب در سطح پوست و مخاط کلونیزه می‌شود و همچنین می‌توانند در همه بافت‌های بدن زنده بماند، این دسته از میکروارگانیسم‌ها مسئول عفونت‌های گوناگونی در انسان است.<sup>۳</sup> با توجه به اینکه تعداد زیادی از بیماران بستری و

استافیلوکوکوس اورئوس از مهمترین عوامل عفونت‌های بیمارستانی و کسب شده از جامعه می‌باشد. به دلیل قدرت بیماری‌زاگی زیاد و مقاومت در برابر داروهای ضد میکروبی به یکی از مهمترین مشکلات بهداشتی در دنیا تبدیل شده است.<sup>۱</sup> استافیلوکوکوس اورئوس باعث عفونت‌های چرکی متعدد و مسمومیت‌های غذایی در

## روش بررسی

در مجموع ۲۰۰ نمونه (۱۵۰ نمونه از بیماران بستری و ۵۰ نمونه سواب بینی کارکنان) از بیمارستان های دانشگاه علوم پزشکی همدان جمع آوری گردید.

این مطالعه به صورت مقطعی (Cross-sectional) از مهر ۱۳۹۲ تا مرداد ۱۳۹۳ انجام شد. این مطالعه گونه استافیلوكوکوس اورئوس با استفاده از روش های استاندارد میکروب شناسی شامل تست کاتالاز، (Liofilchem S.R.L., کوگلاز با استفاده از سرم سیتراته خرگوش Roseto Degli Abruzzi, Italy) و تخمیر مانیتول روی محیط مانیتول سالت آگار (MAS) و آزمایش DNase تایید گردید. حساسیت ضد میکروبی ایزوله های استافیلوكوکوس اورئوس نسبت به آنتی بیوتیک ونکومایسین ( $\mu\text{g}$ )<sup>۳۰</sup>, جنتامایسین ( $\mu\text{g}$ )<sup>۱۰</sup>, تتراسایکلین ( $\mu\text{g}$ )<sup>۳۰</sup>, تری متیپریم سولفاماتاکسازول ( $\mu\text{g}$ )<sup>۲۵</sup>, سپیروفلوکساسین ( $\mu\text{g}$ )<sup>۵</sup>, اریترومایسین ( $\mu\text{g}$ )<sup>۱۵</sup>, کلیندامایسین ( $\mu\text{g}$ )<sup>۲</sup>, ریفارمپن ( $\mu\text{g}$ )<sup>۵</sup> و (MAST Laboratories Ltd., Bootle, Merseyside, UK) سفوکستین ( $\mu\text{g}$ )<sup>۱۵</sup> با روش دیسک دیفیوژن آگار Clinical and laboratory standards institute (CLSI) تعیین شد.<sup>۱۶</sup>

ژنوم سویه های استافیلوكوکوس اورئوس از کشت های ۲۴ ساعته باکتری و بر اساس دستور کار شرکت سازنده کیت (Bioflux, Japan) استخراج گردید. سپس DNA استخراج شده در فریزر  $-20^{\circ}\text{C}$ - ذخیره گردید. برای شناسایی ژن های spa و *mecA*  $2\ \mu\text{l}$  DNA استخراج شده به  $1\ \mu\text{l}$  از مخلوط واکنش PCR اضافه گردید. به منظور تکثیر ژن *mecA* و spa از پرایمر های زیر استفاده شد.<sup>۱۷</sup>

*mecA1*: (R) GTAGAAATGACTGAACGTCCGATAA

*mecA2*: (F) CCAATTCCACATTGTTCCGGTCTAA

*Spa1*: (R) ATCTGGTGGCGTAACACCTG

*Spa2*: (F) CGCTGCACCTAACGCTAATG

واکنش PCR با حجم نهایی  $1\ \mu\text{l}$  برای تکثیر ژن *mecA* و spa به ترتیب به روش زیر انجام شد. دناتوراسیون اولیه در دمای  $94^{\circ}\text{C}$  به مدت پنج دقیقه و  $۳۰$  سیکل شامل: -۱- دمای  $94^{\circ}\text{C}$  به مدت  $۴۵$  ثانیه (Annealing), -۲- دمای  $60^{\circ}\text{C}$  به مدت  $۴$  ثانیه (Denaturation) و -۳- دمای  $72^{\circ}\text{C}$  به مدت  $۴۵$  ثانیه (Extension)، دمای  $72^{\circ}\text{C}$  به مدت پنج دقیقه (Final extension) همچنین برای ژن spa دناتوراسیون اولیه در دمای  $94^{\circ}\text{C}$  به مدت سه دقیقه و  $۳۰$  سیکل

پرسنل ناقل سویه های مقاوم به آنتی بیوتیک از جمله مقاوم به متی سیلین بوده و در بینی یا پوست خود داری استافیلوكوکوس اورئوس می باشند، انتشار این باکتری به واسطه تماس با ناقلين آن در بیمارستان ها از اهمیت ویژه ای برخوردار است.<sup>۱۸</sup> در سه دهه گذشته، استافیلوكوک اورئوس مقاوم به متی سیلین (Methicillin-resistant *Staphylococcus aureus*, MRSA) به عنوان یکی از پاتوژن های اصلی در بیمارستان ها و همچنین عفونت های کسب شده از جامعه شناخته شده است.<sup>۷-۹</sup> با وجود پیشرفت تکنولوژی و درمان دارویی، عفونت های ایجاد شده به وسیله گونه های MRSA هنوز به عنوان یک عامل پاتوژن سخت به شمار می آید.<sup>۱۰</sup>

نخستین گونه های MRSA در سال ۱۹۶۱ ایزوله شده اند.<sup>۱۱</sup> پس از مدتها، استافیلوكوک های مقاوم به متی سیلین به طور گسترده به عنوان عامل مهم مرگ و میر در جهان شناسایی شدند. در حدود  $۳۵\%$  عفونت های استافیلوكوکوس اورئوس توسط این سویه ها ایجاد می شود.<sup>۸</sup> افزایش مقاومت استافیلوكوک ها به آنتی بیوتیک های بتا- لاكتام به یک مشکل کلینیکی اصلی تبدیل شده است. این ناحیه دارای پلی مورفیسم بالایی می باشد. آنالیز توالي دیواره ای سلولی استافیلوكوکوس اورئوس می باشد. آنالیز توالي نوکلئوتیدها در ناحیه x زن کدکننده spa پروتین استافیلوكوکوس اورئوس نشان داده شده است که این ناحیه از ۲۴ جفت باز تکراری تشکیل شده است. این ناحیه دارای پلی مورفیسم بالایی می باشد که تعداد و توالي منحصر به فرد تکراری در میان گونه های متفاوت می باشد. ناحیه اتصالی به FC ایمونو گلوبولین ها ناحیه x نامیده می شود که از بررسی این ناحیه تفاوت بین سویه های اپیدمیک و غیر اپیدمیک مشخص می گردد.<sup>۱۲</sup>

تاپینگ (Typing) سریع و دقیق استافیلوكوکوس اورئوس به منظور شناسایی انتقال این ارگانیسم عفونتزا بسیار حائز اهمیت می باشد. با تاپینگ مولکولی این پروتین می توان موجب کوتاه نمودن و یا جلوگیری از بروز اپیدمی ها و کاهش تعداد عفونت ها و همین طور کاهش هزینه ناشی از عفونت های بیمارستانی گردید.<sup>۱۵</sup> تکثیر ژن spa (کدکننده آنزیم پروتین A) روشی ساده و دقیق برای تاپینگ استافیلوكوکوس اورئوس ایزوله شده از منابع بالینی است. هدف از این مطالعه بررسی الگوهای ژنی spa (پروتین A) استافیلوكوکوس اورئوس جدا شده از بینی پرسنل و نمونه های بالینی از بیماران بستری در بیمارستان های دانشگاه علوم پزشکی همدان بود.

اورئوس با روش کربی‌بایر نتایج به این صورت که در بین سویه‌های MRSA بیشترین حساسیت به آنتی‌بیوتیک کلیندامایسین ( $2 \mu\text{g}$ ) و بیشترین مقاومت به آنتی‌بیوتیک سپروفلوکسازین ( $5 \mu\text{g}$ ) مشاهده گردید (جدول ۱).

همچنین میزان شیوع ژن *mecA* در میان سویه‌های استافیلوکوکوس اورئوس ایزوله شده  $50\%$  بود. در بررسی ژن *spa* در بیماران و ناقلين مورد مطالعه، هشت محصول PCR به دست آمد (شکل ۱) که بیشترین فراوانی مربوط به تیپ  $A_1$  ( $1200-1150$  جفت باز) با فراوانی  $44/5\%$  و پس از آن  $A_2$  ( $1300-1250$  جفت باز) با فراوانی  $40/5\%$  ( $A_3$   $81\%$ ,  $A_4$   $1400-1350$  جفت باز),  $A_5$  ( $1500-1450$  جفت باز),  $A_6$  ( $1400-1350$  جفت باز),  $A_7$  ( $1400-1350$  جفت باز),  $A_8$  ( $1400-1350$  جفت باز),  $A_9$  ( $1400-1350$  جفت باز),  $A_{10}$  ( $1400-1350$  جفت باز),  $A_{11}$  ( $1400-1350$  جفت باز),  $A_{12}$  ( $1400-1350$  جفت باز) با فراوانی  $3/3\%$  قرار داشتند در میان سویه‌ها تعداد سه سویه بدون باند و هفت سویه با دو باند محصول PCR مشاهده شدند (جدول ۲). پس از برش با آنزیمهای محدودکننده Polymerase chain reaction-restriction fragment length الگوی (PCR-RFLP) در میان سویه‌های MRSA و ناقلين حاصل شد (شکل ۲) که  $60\%$  از این الگوها در میان سویه‌های MSSA و MRSA مشترک بودند. سه قطعه ( $1000$ ,  $210$ ,  $900$  جفت بازی) بیشترین فراوانی را در میان نمونه داشتند (جدول ۳).

در میان ایزوله‌های MRSA و MSSA کلینیکال الگوی RFLP حاصل  $A_4$  ( $1450-1500$  جفت باز) یک تیپ منحصر به فرد در بیماران بستری بود که در سویه‌های جدا شده از ناقلين مشاهده نشد.

شامل: ۱- دمای  $94^{\circ}\text{C}$  به مدت یک دقیقه (Denaturation)، ۲- دمای  $55^{\circ}\text{C}$  به مدت یک دقیقه (Annealing)، ۳- دمای  $72^{\circ}\text{C}$  به مدت  $90$  ثانیه (Final extension)، دمای  $72^{\circ}\text{C}$  به مدت پنج دقیقه (Extension) است. اعمال شد.

الکتروفورز محصولات PCR در ژل  $1.5\%$  به مدت  $60$  دقیقه در ولتاژ  $110$  ولت صورت گرفت. پس از اتمام الکتروفورز نتایج توسط UV transilluminator (Cleaver Scientific Ltd., Warwickshire, UK) مشاهده شد.

از مارکر  $100\text{ bp}$  (SinaClon BioScience Co., Tehran, Iran) برای تایید وزن مولکولی محصولات PCR استفاده گردید. به منظور انجام هضم آنزیمی در داخل یک میکروتیوب استریل  $1\text{ }\mu\text{l}$  از محصولات PCR به همراه  $1\text{ }\mu\text{l}$  آنزیم محدودکننده *Rsa I* (Thermo Fisher Scientific Inc., Waltham, MA, USA) اضافه گردید، سپس  $2\text{ }\mu\text{l}$  بافر آنزیم  $\times 10$  اضافه کرده و در نهایت  $16\text{ }\mu\text{l}$  آب مقطر استریل اضافه شد تا حجم نهایی به  $20\text{ }\mu\text{l}$  برسد، سپس میکروتیوب‌های حاوی مواد گفته شده به مدت یک شب در  $37^{\circ}\text{C}$  انکوبه گردیدند. پس از این مدت میکروتیوب‌ها برای غیرفعال شدن آنزیم به مدت  $20$  دقیقه در  $50^{\circ}\text{C}$  انکوبه شدند.

در مرحله بعد محصولات هضم آنزیمی به مدت دو ساعت در ژل Chi-square test اگار  $2\%$  در ولتاژ  $90$  ولت الکتروفورز گردیدند. از SPSS software, version 21 (SPSS Inc., Chicago, IL, USA) جهت تجزیه و تحلیل یافته‌ها استفاده گردید.

## یافته‌ها

از مجموع  $200$  نمونه مورد مطالعه،  $99$  نفر مرد ( $49/5\%$ ) و  $101$  نفر زن ( $50/5\%$ ) بودند. بیشترین نمونه‌های به دست آمده به ترتیب خون، تراشه، ادرار، زخم، مایعات بدن، آبسه و دستگاه تنفسی بود. از بین این نمونه‌ها  $100$  سویه استافیلوکوکوس اورئوس مقاوم به متی‌سیلین (Methicillin-resistant *Staphylococcus aureus*, MRSA) (*Methicillin-sensitive Staphylococcus aureus*, MSSA)  $50$  نمونه حساس به متی‌سیلین که  $50$  سویه استافیلوکوکوس اورئوس حساس به متی‌سیلین از بینی ناقلين جدا گردید.

پس از بررسی حساسیت ضد میکروبی سویه‌های استافیلوکوکوس

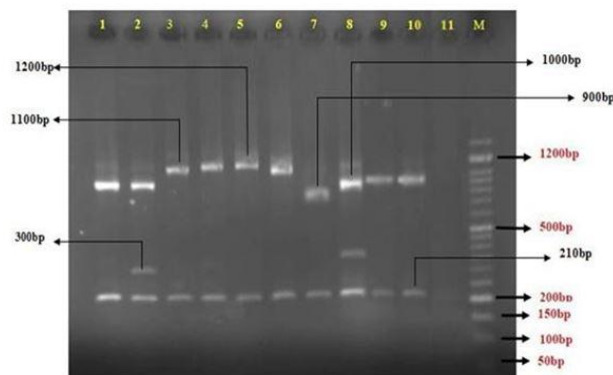
دیسک‌های آنتی‌بیوتیکی	حساسیت (%)	تعداد (%)	مقاومت (%)	تعداد (%)
سفوکستین ( $15 \mu\text{g}$ )	۰	$100/50\%$		
ونکومایسین ( $30 \mu\text{g}$ )	$100/100\%$	۰		
ریفارامایسین ( $5 \mu\text{g}$ )	$15/15\%$	$15/85\%$		
جنتامایسین ( $10 \mu\text{g}$ )	$10/10\%$	$90/90\%$		
تراسایکلین ( $30 \mu\text{g}$ )	$9/9\%$	$91/91\%$		
کوتريموکسازول ( $25 \mu\text{g}$ )	$15/15\%$	$85/85\%$		
سپروفلوکسازین ( $5 \mu\text{g}$ )	$5/5\%$	$95/95\%$		
کلیندامایسین ( $2 \mu\text{g}$ )	$20/20\%$	$80/80\%$		
اریترومایسین ( $15 \mu\text{g}$ )	$8/8\%$	$92/92\%$		

\* Methicillin-resistant *Staphylococcus aureus*

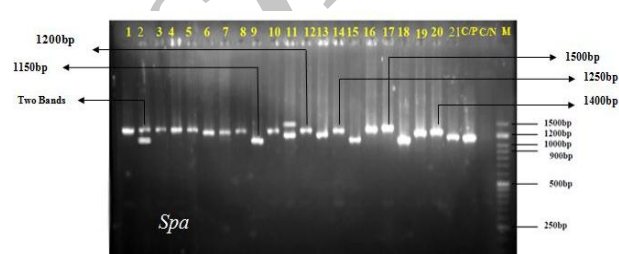
جدول ۲: نتایج PCR در ژن *spa* سویه‌های *s.aureus* جدا شده از نمونه‌های بالینی و ناقلين

محصول *	تعداد (%)	سویه MRSA ** تعداد (%)	سویه MSSA *** بالینی تعداد (%)	مجموع تعداد (%)
بدون باند	۲(٪۰.۲)	-	۱(٪۰.۲)	۳(٪۰.۱۵)
جفت باند	۵(٪۰.۵)	-	۲(٪۰.۴)	۷(٪۰.۳۵)
۱۱۵۰-۱۲۰۰ bp	۶۰(٪۰.۶۰)	۵(٪۰.۱۰)	۲۴(٪۰.۴۸)	۸۹(٪۰.۴۴۵)
۱۲۰۰-۱۳۰۰ bp	۲۴(٪۰.۲۴)	۴۱(٪۰.۷۰)	۱۶(٪۰.۳۲)	۸۱(٪۰.۴۰۵)
۱۳۵۰-۱۴۰۰ bp	۶(٪۰.۶)	۲(٪۰.۴)	۶(٪۰.۱۲)	۱۴(٪۰.۷)
۱۴۰۰-۱۵۰۰ bp	۳(٪۰.۳)	۱(٪۰.۲)	۲(٪۰.۴)	۶(٪۰.۳)
مجموع	۱۰۰(٪۰.۱۰۰)	۵۰(٪۰.۵۰)	۵۰(٪۰.۵۰)	۲۰۰(٪۰.۱۰۰)

\* Polymerase chain reaction

\*\* Methicillin-resistant *Staphylococcus aureus*\*\*\* Methicillin-sensitive *Staphylococcus aureus*

شکل ۲: نتایج الکتروفورز محصولات ژن *spa* در بررش با آنزیم *RsaI*. ردیف شماره ۱ (الگوی محصول ۱۱۵۰-۱۲۰۰ جفت بازی)، ردیف شماره ۲ (الگوی محصول ۱۲۰۰-۱۳۰۰ جفت بازی)، ردیف شماره ۳ و ۴ (الگوی محصول ۱۲۵۰-۱۳۰۰ جفت بازی)، ردیف شماره ۵ و ۶ (الگوی محصول ۱۴۵۰-۱۵۰۰ جفت بازی)، ردیف شماره ۷ (الگوی محصول ۱۴۰۰-۱۴۵۰ جفت بازی)، ردیف شماره ۸ (الگوی محصول ۱۵۰۰-۱۵۵۰ جفت بازی)، ردیف شماره ۹ و ۱۰ (سویه کنترل مثبت (ATCC 25923)، ردیف شماره ۱۱ (کنترل منفی)، M (سایر مارکر DNA) برای (DNA Ladder).



شکل ۱: الکتروفورز محصول ژن *Spa* در سویه‌های استافیلوكوکوس اورئوس مقاوم و حساس به متی سیلین.

ردیفهای شماره ۱ و ۳ و ۵ و ۱۰ و ۱۱ و ۱۳ (محصول PCR ۱۲۰۰ جفت باز)، ردیفهای ۲ و ۱۱ (محصول PCR دو باندی)، ردیف شماره ۹ (محصول PCR ۱۱۵۰ PCR جفت باز)، ردیف شماره ۱۶ و ۲۰ (محصول PCR ۱۵۰۰ PCR جفت باز)، ردیف شماره ۱۹ و ۲۰ (محصول PCR ۱۴۰۰ PCR جفت بازی)، ردیف شماره ۶ و ۷ و ۲۱ (محصول PCR ۱۲۰۰ PCR جفت بازی)، ردیف شماره ۱۵ و ۱۸ (محصول PCR ۱۱۵۰ PCR جفت بازی)، ردیف شماره ۱ (C/P Control)، (ATCC 25923 Control positive) سویه C/N (Control negative) M سایر مارکر DNA

*spa* با جایگاه عفونت و بخش‌های مختلف بیمارستانی نشان نداد. همچنین بر اساس آن توزیع فراوانی الگوهای به دست آمده در بیمارستان‌های دانشگاه علوم پزشکی همدان یکسان نبود. به منظور ردیابی منشای عفونت در بخش‌های مختلف بیمارستان‌های مورد مطالعه استفاده شد رابطه معناداری را نشان نداد.

همچنین *A2* (۱۲۵۰-۱۳۰۰ جفت باز) بیشترین مقدار را در سویه‌های استافیلوكوکوس اورئوس جدا شده از ناقلين داشت که این تیپ در میان سویه‌های کلینیکال به تعداد کمتری وجود داشت. در برخی از سویه‌ها پس از بررش آنزیمی بهجهت اینکه در اثر آنزیم قطعات کوچکتری حاصل می‌شدند در الکتروفورز باندی مشاهده نشد. الگوهای برشی مشابهی در برخی سویه‌های جدا شده به دست آمده و در برخی سویه‌های جدا شده الگوهای برشی متفاوت مشاهده گردید. رابطه معناداری میان الگوهای به دست آمده از ژن Chi-square test

ژنتیکی مختلفی هستند.<sup>۲۰</sup> مطالعه Mooldey و همکاران که بر روی ۳۲۰ ایزوله بالینی به بررسی ژن spa پرداختند پنج محصول PCR برای این ژن را گزارش کردند که پس از انجام PCR-RFLP الگوهای متفاوتی را نشان دادند.<sup>۲۱</sup>

در ایران نیز مطالعات زیادی در زمینه تایپینگ سویه‌های استافیلوکوکوس اورئوس انجام شده است که در این راستا پژوهش‌هایی مانند مطالعه Afrough و همکاران، تعداد ۹ الگوی مختلف از ژن spa را نشان داد که این الگوها شامل (۶۵۰ bp-۸۰۰ bp-۹۰۰ bp-۱۲۰۰ bp-۱۴۰۰ bp) که با محصولات PCR بدست آمده از مطالعه حاضر متشابه بود و این نشان از بودن سویه‌های باکتری متشابه از نظر ژنتیکی در مناطق و یا حتی در کشورها دارد.<sup>۱۰</sup> همچنین مطالعه Emaneini و همکاران، ۲۱ الگوی مختلف از spa را گزارش کردند که در میان این محصولات PCR دو الگوی جدید در spa تایپینگ را به ثبت رسانند.<sup>۲۲</sup>

مطالعه الگوهای ژنی spa در بیماران و پرسنل به منظور شناسایی منشای عفونت در بخش‌های مختلف بیمارستان‌های دانشگاه علوم پزشکی همدان تفاوت معناداری را نشان نداد. در بعضی موارد نیز شباهت‌هایی در بخش‌های مختلف مشاهده گردید که به احتمال از نوعی انتقال باکتری بین پرسنل و بیماران بوده است. الگوهای A<sub>1</sub> (۱۲۰۰-۱۵۰۰ جفت باز) و A<sub>2</sub> (۱۲۵۰-۱۳۰۰ جفت باز) بیشترین اشتراک را در بین بیمارستان‌های مورد مطالعه داشتند و این می‌تواند ناشی از زنجیره انتقال سویه‌های استافیلوکوکوس اورئوس بین پرسنل که اکثر در نمونه‌های گرفته از ناقلين دانشجویان پزشکی و پرستاری بودند که به صورت دوره‌ای در بیمارستان‌های دانشگاه دوره کارآموزی را می‌گذراند، باشد که برای دستیابی به داده‌های دقیق‌تر، مطالعات وسیع‌تر با حجم نمونه‌های گسترده پیشنهاد می‌گردد.

با داده‌های به دست آمده از این مطالعه و مشخص شدن سویه‌ها و تیپ‌های استافیلوکوکوس اورئوس که در بیمارستان‌های همدان در ناقلين و بیماران بسترهای شده در حال انتقال هستند، با توجه به نتایج تایپینگ کواگولاز و پروتین A که نشان دادند کدام یک از گونه‌ها در بیماران و کارکنان بیمارستان به صورت غالب وجود دارند، می‌توان با در اختیار قرار دادن داده‌های ژنتیکی این سویه‌ها در دسترس پژوهشگران، آنها را از نظر مقاومت آنتی‌بیوتیکی، کترول شیوع و جلوگیری از عفونت‌های بیمارستانی بررسی نمود و یک مدل درمانی مفید و هدف‌دار را طراحی کرد و در اختیار پزشکان قرار داد.

جدول ۳: نتایج PCR-RFLP محصولات ژن spa در سویه‌های استافیلوکوکوس اورئوس

محصول	* الگوهای PCR-RFLP	تعداد (%)
1150-1200 bp	900-210 bp **	۸۹(٪۴۴/۵)
1250-1300 bp	1100-210 bp	۸۱(٪۴۰/۵)
1350-1400 bp	1000-300-210 bp	۱۴(٪۷)
1450-1500 bp	1200-300 bp	۶(٪۳)
مجموع	-	۱۹۰(٪۹۰)

\* Restriction fragment length polymorphism \*\* Base pair

## بحث

تیپ غالب در همدان دارای الگوی A<sub>1</sub> (۱۱۵۰-۱۲۰۰ جفت باز) بود. همچنین با استفاده از آزمون‌های آماری و محاسبات انجام شده اختلاف معناداری میان سویه‌های HM-MRSA و سویه‌های MSSA ناقلين و کلینیکال تیپ A<sub>1</sub> (۱۱۵۰-۱۲۰۰ جفت باز) مشاهده گردید. علاوه بر این سویه‌ها دارای مقاومت آنتی‌بیوتیکی بیشتری نسبت به بقیه تیپ‌ها بودند. همچنین این سویه‌ها حساسیت بالایی به کلیندامایسین و بالاترین مقاومت را نسبت به آنتی‌بیوتیک‌های سپپروفلوکسازین و اریترومایسین داشتند.

در میان سویه‌های ناقلين نیز تیپ A<sub>2</sub> (۱۲۵۰-۱۳۰۰ جفت باز) که بیشترین شیوع را در میان کارکنان بیمارستان‌های مورد مطالعه داشت از نظر الگوی آنتی‌بیوتیکی به سویه‌های HM-MRSA شباهت زیادی داشتند که این گونه می‌تواند در اثر جهش‌های ژنتیکی به یک سویه مقاوم به متی‌سیلین تبدیل شود. در مطالعه Sadia Afroz و همکاران که بر روی ۴۰ ایزوله استافیلوکوکوس اورئوس جمع آوری شده، از بیماران با عفونت زخم و ناقلين (کارکنان در بیمارستان) انجام شد. در گونه Spa (پروتین A)، هفت نوع محصول PCR از ژن spa شناسایی کردند که برخی از گونه‌های این مطالعه از نظر الگوهای به دست آمده با مطالعه حاضر شبیه بودند.<sup>۱۹</sup>

در مطالعه دیگری ۱۹۱ سویه MRSA جدا شده از بخش‌های مختلف بیمارستان که توسط Harmsen مورد بررسی قرار گرفت ۱۰ الگوی مختلف از spa گزارش شد که با مطالعه ما وجه اشتراکی نداشتند و این بیانگر این مطلب می‌باشد که سویه‌های استافیلوکوکوس اورئوس عامل عفونت‌های بیمارستانی در مناطق مختلف دارای نقشه

بستری و پرسنل بیمارستان‌ها صورت گیرد.

**سپاسگزاری:** این مقاله بخشی از پایان‌نامه با عنوان "شناسایی ژن‌های کدکننده آنزیم کوآگلاز و پروتین A در سویه‌های مقاوم و حساس به متی‌سیلین ایزوله شده از نمونه‌های بالینی و ناقلین" با کد مصوبه ۱۵۱۲ و سال ۱۳۹۲ معاونت پژوهشی دانشگاه علوم پزشکی همدان می‌باشد.

با توجه به شیوع عفونت‌های ناشی از سویه‌های استافیلوکوکوس اورئوس و اهمیت بررسی ویژگی‌های ژنتیکی سویه‌های مقاوم به آنتی‌بیوتیک در رdiابی منشای عفونت و کترول آلدگی ناشی از آن، پیشنهاد می‌شود مطالعات وسیع‌تری براساس روش‌های مولکولی در ایزوله‌های استافیلوکوکوس اورئوس جدایشده از نمونه‌های بیماران

## References

1. Sahm DF, Critchley IA, Kelly LJ, Karlowsky JA, Mayfield DC, Thomsberry C, et al. Evaluation of current activities of fluoroquinolones against gram-negative bacilli using centralized in vitro testing and electronic surveillance. *Antimicrob Agents Chemother* 2001;45(1):267-74.
2. Tiwari HK, Sapkota D, Gaur A, Mathuria JP, Singh A, Sen MR. Molecular typing of clinical *Staphylococcus aureus* isolates from northern India using coagulase gene PCR-RFLP. *Southeast Asian J Trop Med Public Health* 2008;39(3):467-73.
3. Wisal ME, Hamid MA, Hadia EA, Jalil IM, Ali AS. Coagulase gene polymorphism of *staphylococcus aureus* strains isolated from human, animals and environment. *Pak J Biol Sci* 2005;8(2):278-80.
4. Fournier B, Philpott DJ. Recognition of *Staphylococcus aureus* by the innate immune system. *Clin Microbiol Rev* 2005;18(3):521-40.
5. Anwar MS, Jaffery G, Rehman Bhatti KU, Tayyib M, Bokhari SR. *Staphylococcus aureus* and MRSA nasal carriage in general population. *J Coll Physicians Surg Pak* 2004;14(11):661-4.
6. Edoh V, Gadou D, Tia H, Gnonsahe D. Epidemiology and prevention of *Staphylococcus aureus* nasal carriage in patients and staff at the Cocoye Hemodialysis Center in Abidjan, Ivory Coast. *Med Trop (Mars)* 2003;63(6):590-2.
7. Geha DJ, Uhl JR, Gustafson CA, Persing DH. Multiplex PCR for identification of methicillin-resistant staphylococci in the clinical laboratory. *J Clin Microbiol* 1994;32(7):1768-72.
8. Vannuffel P, Gigi J, Ezzedine H, Vandercam B, Delmee M, Wauters G, et al. Specific detection of methicillin-resistant *Staphylococcus* species by multiplex PCR. *J Clin Microbiol* 1995;33(11):2864-7.
9. Stefani S, Chung DR, Lindsay JA, Friedrich AW, Kearns AM, Westh H, et al. Meticillin-resistant *Staphylococcus aureus* (MRSA): global epidemiology and harmonisation of typing methods. *Int J Antimicrob Agents* 2012;39(4):273-82.
10. Glasner C, Sabat AJ, Dreisbach A, Larsen AR, Friedrich AW, Skov RL, et al. Rapid and high-resolution distinction of community-acquired and nosocomial *Staphylococcus aureus* isolates with identical pulsed-field gel electrophoresis patterns and spa types. *Int J Med Microbiol* 2013;303(2):70-5.
11. Hooke JV, Richardson JF, Cookson BD. Molecular typing of *Staphylococcus aureus* based on PCR restriction fragment length polymorphism and DNA sequence analysis of the coagulase gene. *J Clin Microbiol* 1998;36(4):1083-9.
12. Lacey RW, Barr KW, Barr VE, Inglis TJ. Properties of methicillin-resistant *Staphylococcus aureus* colonizing patients in a burns unit. *J Hosp Infect* 1986;7(2):137-48.
13. Frenay HM, Theelen JP, Schouls LM, Vandenbroucke-Grauls CM, Verhoef J, van Leeuwen WJ, et al. Discrimination of epidemic and nonepidemic methicillin-resistant *Staphylococcus aureus* strains on the basis of protein A gene polymorphism. *J Clin Microbiol* 1994;32(3):846-7.
14. Tang YW, Waddington MG, Smith DH, Manahan JM, Kohner PC, Highsmith LM, et al. Comparison of protein A gene sequencing with pulsed-field gel electrophoresis and epidemiologic data for molecular typing of methicillin-resistant *Staphylococcus aureus*. *J Clin Microbiol* 2000;38(4):1347-51.
15. Afrough P, Pourmand M, Zeinalinia N, Yousefi M, Abdossamadi Z, Bagherzadeh Yazdchi S. Molecular Typing of Clinical and Nasal Carriage Isolates of *Staphylococcus Aureus* by spa Gene Patterns. *J Mazandaran Univ Med Sci* 2012;22(94):28-34.
16. Clinical and Laboratory Standards Institute (CLSI). Performance Standards for Antimicrobial Susceptibility Testing. 21<sup>st</sup> Informational Supplement. Wayne, PA: CLSI; 2013, M100-S21.
17. Shakeri F, Shojai A, Golalipour M, Rahimi Alang S, Vaez H, Ghaemi EA. Spa diversity among MRSA and MSSA strains of *Staphylococcus aureus* in North of Iran. *Int J Microbiol* 2010;9(5):1-5.
18. Ryffel C, Tesch W, Birch-Machin I, Reynolds PE, Barberis-Maino L, Kayser FH, et al. Sequence comparison of *mecA* genes isolated from methicillin-resistant *Staphylococcus aureus* and *Staphylococcus epidermidis*. *Gene* 1990;94(1):137-8.
19. Afroz S, Bayezid Hossain ABM, Binte Lutfor A, Muazzam N, Schentag JJ, Hayat JM, et al. Coagulase typing and spa typing of methicillin resistant *Staphylococcus aureus*: Relatedness among patients' and carrier strains. *Bangladesh J Med Microbiol* 2008;02(01):3-7.
20. Harmsen D, Claus H, Witte W, Rothgänger J, Claus H, Turnwald D, et al. Typing of methicillin-resistant *Staphylococcus aureus* in a university hospital setting by using novel software for spa repeat determination and database management. *J Clin Microbiol* 2003;41(12):5442-8.
21. Moodley A, Oosthuysen W, Duse A, Marais E. Molecular characterization of clinical Methicillin-Resistant *Staphylococcus aureus* isolates in South Africa. *J Clin Microbiol* 2010;48(12):4608-11.
22. Emaneini M, Khoramrooz SS, Taherikalani M, Jabalameli F, Aligholi M. Molecular characterization of *Staphylococcus aureus* isolated from children with adenoid hypertrophy: emergence of new spa types t7685 and t7692. *Int J Pediatr Otorhinolaryngol* 2011;75(11):1446-9.

## Study of polymorphism *spa* gene (encoding protein A) of *Staphylococcus aureus* in clinical isolates and nasal carriers

Hassan Mahmoudi Ph.D.  
Student<sup>1</sup>  
Mohammad Reza Arabestani  
Ph.D.<sup>1</sup>  
Seyed Fazlullah Mousavi  
Ph.D.<sup>2</sup>  
Safiyeh Ghafel M.Sc.<sup>3</sup>  
Mohammad Yousef Alikhani  
Ph.D.<sup>1\*</sup>

1- Brucellosis Research Center and  
Department of Microbiology,  
Hamadan University of Medical  
Sciences, Hamadan, Iran.  
2- Department of Microbiology,  
Pasteur Institute of Iran, Tehran,  
Iran.  
3- Department of Microbiology,  
Hamadan University of Medical  
Sciences, Hamadan, Iran.

### Abstract

Received: 16 Dec. 2014 Accepted: 17 Feb. 2015 Available online: 11 Mar. 2015

**Background:** *Staphylococcus aureus* is the most important cause of nosocomial infections acquired in the community. Protein A is a major component of *Staphylococcus aureus* cell wall. In analysis of the nucleotide sequence Protein A encoding *spa*, locus x consists of 24 base pairs which repeat with high polymorphism. In this study, the *spa* gene of *Staphylococcus aureus* isolated from clinical specimens were obtained from patients admitted to the hospital and healthy carriers.

**Methods:** In a cross-sectional study, a total of 200 samples were collected. One hundred fifty samples were obtained from hospitalized patients and 50 samples obtained from staff nasal swabs in Hamadan University Hospitals from October 2013 to August 2014. Disk diffusion antibiotic susceptibility tests performed. The antibiotics studied were Vancomycin (30 µg), Cefoxitin (15 µg) Gentamicin (10 µg), Tetracycline (30 µg), Trimethoprim/sulfamethoxazole (25 µg), Ciprofloxacin (5 µg), Erythromycin (15 µg), Clindamycin (2 µg), Rifampin (5 µg). The tests performed according to the guidelines of clinical and laboratory standards institute (CLSI). It also detect the *mecA* gene of Methicillin-resistant *Staphylococcus aureus* strains (MRSA) and genes *spa* which encodes the protein A by polymerase chain reaction (PCR). The PCR products using a polymerase chain reaction-restriction fragment length polymorphism (PCR-RFLP) method with enzyme *Rsa I* (*Afa I*) were prepared.

**Results:** This methicillin-resistant *Staphylococcus aureus* strain (MRSA) had the highest sensitivity and resistance to ciprofloxacin and clindamycin. Totally, 8 amplicon with different sizes for the *spa* gene were identified. A total of 9 patterns polymerase chain reaction-restriction fragment length polymorphism (PCR-RFLP) were found. Some of these patterns between *Staphylococcus aureus* isolated from clinical specimens and nasal carriers were common.

**Conclusion:** There is a similar pattern of *spa* gene among patients admitted to the hospital and staff, according to our findings. Analysis of the patterns can reduce transmission of infection in both hospital staff and patients. Also it can help the physicians for correct management of infections.

**Keywords:** disk diffusion antimicrobial tests, drug resistance, genetic association studies, polymerase chain reaction, polymorphism, *spa* gene, *Staphylococcus aureus*.

\* Corresponding author: Hamadan University of Medical Sciences, Department of Microbiology, Shahid fahmideh St., Hamadan, Iran.

Tel: +98-81-38380130  
E-mail: alikhani43@yahoo.com